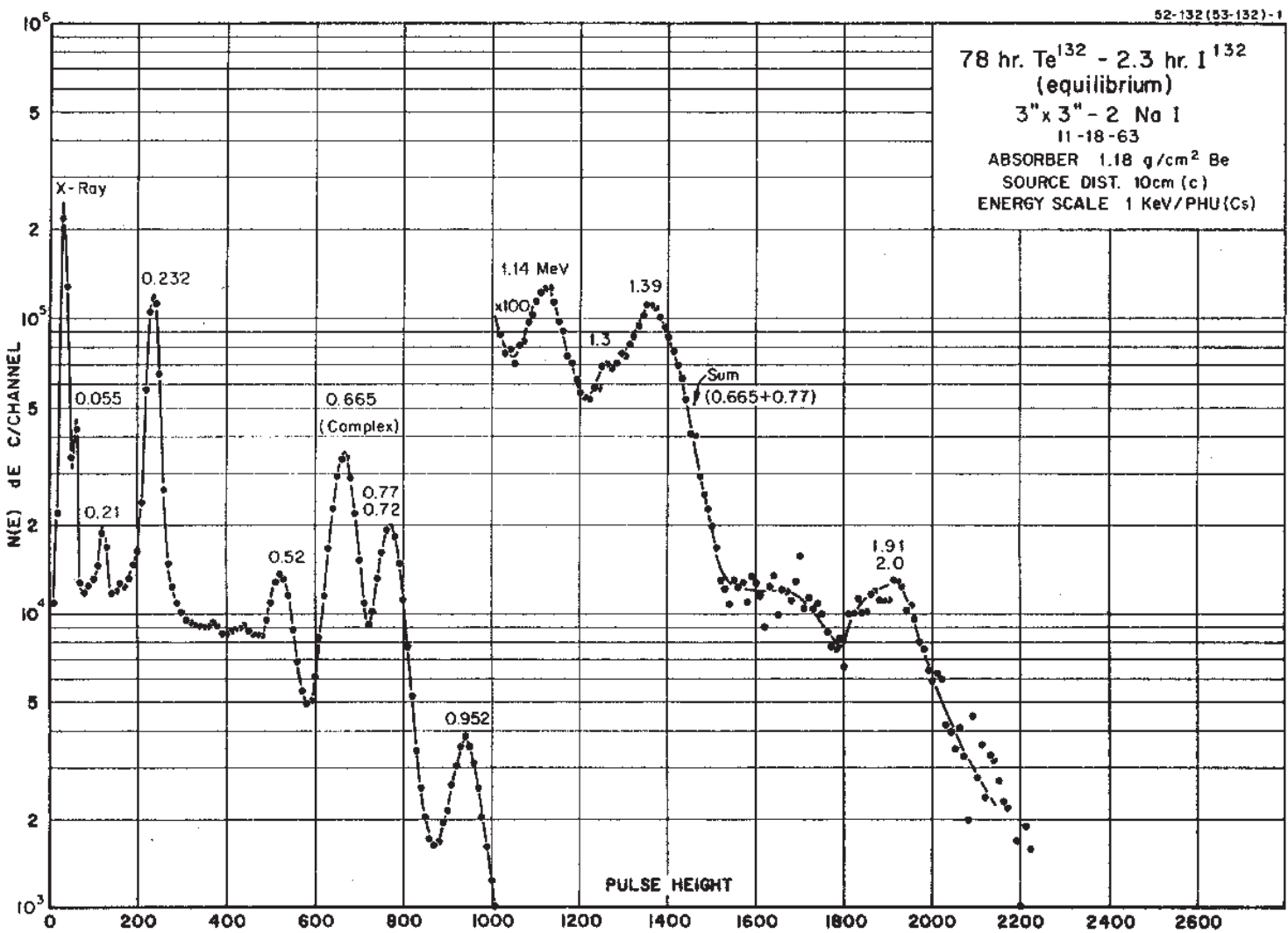
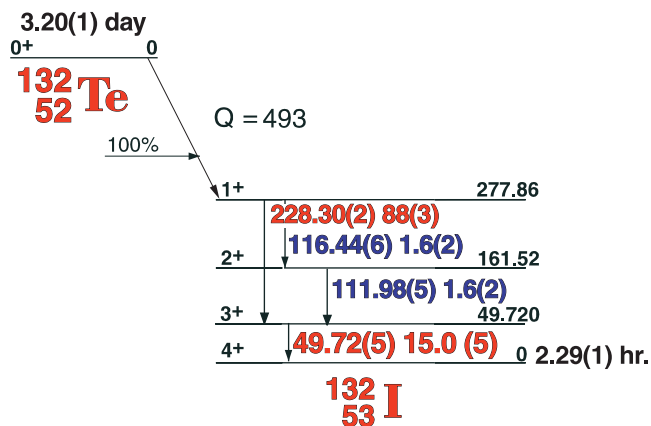
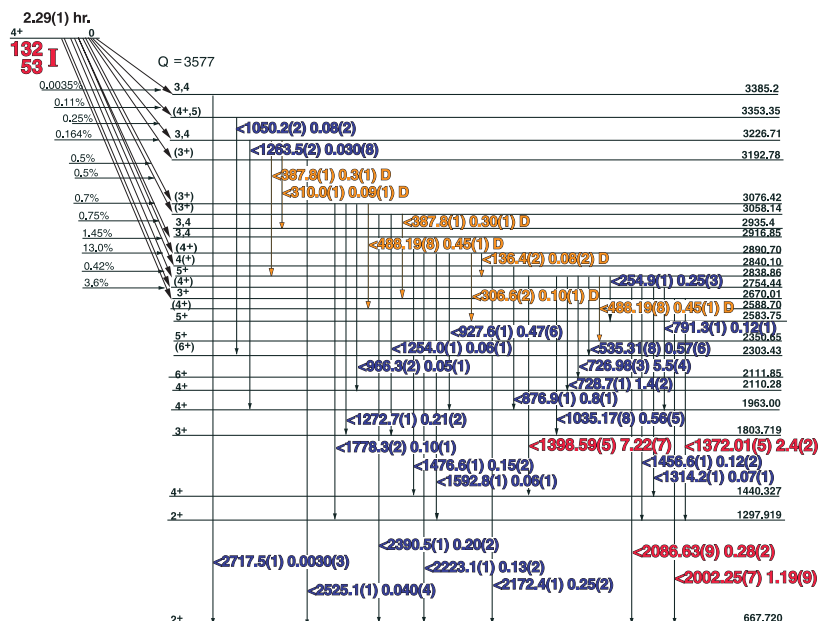


3.20(1) day ^{132}Te - 2.29(1) hr. ^{132}I

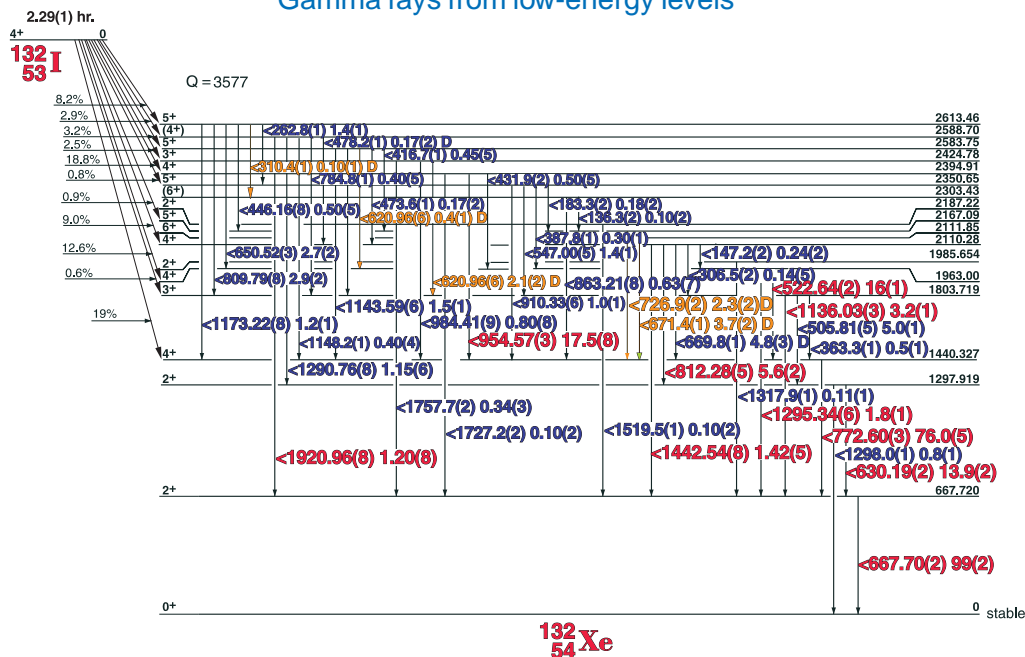


3.20(1) day ^{132}Te - 2.29(1) hr. ^{132}I

Gamma rays from high-energy levels



Gamma rays from low-energy levels



3.20(1) day ^{132}Te - 2.29(1) hr. ^{132}I

GAMMA-RAY ENERGIES AND INTENSITIES

Nuclide ^{132}Te - ^{132}I Half Life 3.20(1) day - 2.29(1) hr.
 Detector 3" X 3" NaI-2 Method of Production: Zr⁹⁰(γ ,n)

	E_{γ} (KeV)[S]	ΔE_{γ}	$I_{\gamma}(\text{rel})$	$I_{\gamma}(\%)[\text{E}]$	ΔI_{γ}	S	E_{γ} (KeV)[S]	ΔE_{γ}	$I_{\gamma}(\text{rel})$	$I_{\gamma}(\%)[\text{E}]$	ΔI_{γ}	S	
D	136.3	± 0.2	0.10	0.10	± 0.01	4	984.41	± 0.09	0.80	0.80	± 0.08	3	
	147.2	± 0.1	0.24	0.24	± 0.02	4	1035.17	± 0.08	0.57	0.52	± 0.05	3	
	183.30	± 0.2	0.18	0.18	± 0.02	4	1050.22	± 0.15	0.10	0.08	± 0.02	4	
	254.86	± 0.15	0.25	0.25	± 0.02	4	1087.10	± 0.10	0.09	0.08	± 0.01	4	
D	262.84	± 0.10	1.47	1.4	± 0.12	3	1136.026 ± 0.040	3.23	3.2	± 0.1	1		
D	306.7	± 0.1	0.14	0.14	± 0.02	4	1143.59	± 0.06	1.57	1.5	± 0.1	2	
D	310.0	± 0.1	0.10	0.09	± 0.01	4	1148.30	± 0.10	0.40	0.40	± 0.04	4	
D	310.4	± 0.1	0.10	0.10	± 0.01	4	1173.22	± 0.08	1.29	1.2	± 0.10	3	
	387.75	± 0.10	0.20	0.30	± 0.03	4	1254.0	± 0.2	0.05	0.06	± 0.01	4	
	416.65	± 0.1	0.46	0.45	± 0.05	4	1263.5	± 0.2	0.03	0.030	± 0.008	4	
	431.96	± 0.08	0.50	0.50	± 0.05	4	1272.68	± 0.10	0.21	0.21	± 0.02	3	
	446.16	± 0.08	0.53	0.50	± 0.05	4	1290.76	± 0.08	1.21	1.15	± 0.06	2	
	473.52	± 0.10	0.17	0.17	± 0.02	4	1295.34 ± 0.06	1.85	1.8	± 0.10	1		
	488.16	± 0.08	0.92	0.45	± 0.01	4	1298.09 ± 0.10	0.71	0.70	± 0.06	2		
	505.810	± 0.05	4.97	5.0	± 0.10	3	1314.24	± 0.15	0.08	0.06	± 0.01	4	
	522.640 ± 0.025	16.18	16	± 0.90	1	1317.76	± 0.10	0.11	0.11	± 0.01	3		
D	535.31	± 0.08	0.58	0.52	± 0.05	4	1372.01 ± 0.05	2.52	2.4	± 0.20	1		
D	547.00	± 0.08	1.38	1.4	± 0.11	3	1398.59 ± 0.05	7.42	7.22	± 0.07	1		
D	620.963	± 0.06	2.15	2.0	± 0.2	3	SE 1410.0						
	630.194 ± 0.030	13.90	13.9	± 0.2	1	sum 1440.11	± 0.10	0.41		± 0.04	3		
	650.516 ± 0.035	2.74	2.7	± 0.25	2		1442.537 ± 0.08	1.44	1.42	± 0.05	1		
	667.683 ± 0.030	100	99	± 2.0	1		1456.6	± 0.15	0.12	0.12	± 0.02	3	
	669.8 ± 0.1		4.8	± 0.3	2		1476.64	± 0.10	0.15	0.15	± 0.02	3	
	671.4 ± 0.10		9.47	3.7	$\pm .4$	2	SE 1491.0					4	
	726.95 ± 0.035	5.65	5.5	± 0.45	1		1519.5	± 0.10	0.10	0.10	± 0.02	3	
	728.72	± 0.10	1.39	1.4	± 0.2	3	1592.8	± 0.15	0.07	0.06	± 0.01	4	
	772.605 ± 0.030	76.99	76.0	± 0.5	1		1727.15	± 0.15	0.11	0.10	± 0.02	4	
	780.19	± 0.08	1.28	1.2	± 0.2	3	1757.7	± 0.2	0.35	0.34	± 0.03	3	
	784.85	± 0.10	0.42	0.40	± 0.05	4	1778.3	± 0.2	0.10	0.10	± 0.01	4	
	791.27	± 0.10	0.13	0.11	± 0.04	4	1920.96 ± 0.08	1.24	1.20	± 0.08	1		
	809.79 ± 0.08	3.03	2.9	± 0.2	2		2002.25 ± 0.07	1.22	1.19	± 0.09	1		
	812.277 ± 0.05	5.74	5.6	± 0.2	1		2086.63 ± 0.09	0.28	0.28	± 0.02	1		
	863.21	± 0.08	0.63	0.61	± 0.06	3	2172.38 ± 0.10	0.25	0.25	± 0.02	2		
	875.86	± 0.1	0.80	0.8	± 0.1	3	2223.10 ± 0.10	0.126	0.13	± 0.02	2		
	876.9	± 0.1	0.60	0.8	± 0.1	3	2249.4	± 0.2	0.04	0.034	± 0.002	3	
	910.33	± 0.06	1.04	1.0	± 0.08	3	2390.5	± 0.1	0.20	0.20	± 0.02	3	
	927.67	± 0.08	0.47	0.47	± 0.06	3	2525.1	± 0.04	0.04	0.040	± 0.004	3	
	954.575 ± 0.030	17.60	17.5	± 0.8	1	2717.0	± 1.0	0.003	0.0035	± 0.001	3		
	966.36	± 0.10	0.06	0.05	± 0.01	4							